

## ИЗГИБ СЕКТОРИАЛЬНЫХ ПЛИТ С ЗАКРЕПЛЕННЫМ КОНТУРОМ

Я. С. Уфлянд  
(Ленинград)

Точное решение задачи изгиба секториальной плиты получено Б. Г. Галеркиным<sup>[1]</sup> только для случая свободно опертых прямолинейных частей контура. Если же радиусы плиты закреплены, то возникают совершенно такие же трудности, как и при решении соответствующей задачи для прямоугольной плиты. Применяя метод И. Г. Бубнова<sup>[2]</sup> для случая равномерной внешней нагрузки, Карье<sup>[3]</sup> подсчитал ценой чрезвычайно громоздких выкладок изгибающие моменты на закрепленном контуре кругового прямоугольника; однако случай сектора им не рассматривался.

При помощи метода, предложенного Г. А. Гришбергом<sup>[4]</sup> в работе<sup>[5]</sup>, точное решение задачи изгиба секторной плиты с закрепленными радиусами сведено к некоторому интегральному уравнению, допускающему весьма эффективные приближения. Однако указанное решение обладает двумя недостатками: 1) его точность тем ниже, чем меньше центральный угол сектора; 2) оно не пригодно для расчета изгибающих моментов и перерезывающих сил на прямолинейных частях контура.

В настоящей заметке предлагается другой, свободный от этих недостатков способ решения задачи об изгибе секториальной плиты с закрепленным контуром.

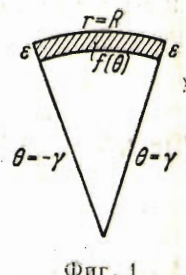
Рассмотрим упругую тонкую плиту, имеющую форму кругового сектора (фиг. 1). Уравнение для прогибов  $w$ , вводя другую переменную величину  $u$ , запишем в виде

$$\Delta^2 u = q(r, \theta) \quad \left( u = Dw, \quad D = \frac{Eh^3}{12(1-\nu^2)} \right) \quad (1)$$

где  $q(r, \theta)$  — внешняя нагрузка. Границные условия будут

$$u = 0, \quad \frac{\partial u}{\partial \theta} = 0 \quad \text{при } \theta = \pm \gamma \quad (2)$$

$$u = 0, \quad \frac{\partial u}{\partial r} = 0 \quad \text{при } r = R \quad (3)$$



Фиг. 1

Будем искать решение уравнения (1) в форме следующего интеграла:

$$u(r, \theta) = r \int_0^\infty v(\theta, z) \psi(r, z) dz, \quad \psi(r, z) = \cos \left( z \lg \frac{R}{r} \right) + \frac{1}{z} \sin \left( z \lg \frac{R}{r} \right) \quad (4)$$

При этом второе граничное условие (3) выполняется.

Приложим теперь по дуге  $r = R$  [по полоске ширины  $\varepsilon$  (фиг. 1)] распределенную нагрузку  $f(\theta)$ , которую вноследствии определим при помощи первого условия (3). После подстановки (4) в (1) получаем

$$\frac{1}{r^3} \int_0^\infty \left[ \frac{\partial^4 v}{\partial \theta^4} + 2(1-z^2) \frac{\partial^2 v}{\partial z^2} + (1+z^2)^2 v \right] \psi(r, z) dz = S(r, \theta) \quad (5)$$

$$S(r, \theta) = \begin{cases} q(r, \theta) + \frac{1}{\varepsilon} f(\theta) & \text{при } R - \varepsilon < r < R, \\ q(r, \theta) & \text{при прочих } r \end{cases} \quad (6)$$

Теперь, разлагая функцию  $r^3 S(r, 0)$  на промежутке  $(0, R)$  в интеграл по функциям  $\psi(r, z)$  с весом  $r^{-1}$ , будем иметь для  $v(\theta, z)$  (в пределе при  $\varepsilon \rightarrow 0$ ) уравнение<sup>1</sup>

$$\left[ \frac{\partial^4}{\partial \theta^4} + 2(1-z^2) \frac{\partial^2}{\partial \theta^2} + (1+z^2)^2 \right] v(\theta, z) = T(\theta, z) \quad (7)$$

Здесь

$$T(\theta, z) = \frac{2z^2}{\pi(1+z^2)} [p(\theta, z) + \varphi(\theta)]$$

$$p(\theta, z) = \int_0^R r^2 q(r, \theta) \psi(r, z) dr, \quad \varphi(\theta) = R^2 f(\theta)$$

Общий интеграл уравнения (7) будет

$$v(\theta, z) = C_1(z) \operatorname{ch} \theta z \cos \theta + C_2(z) \operatorname{ch} \theta z \sin \theta + C_3(z) \operatorname{sh} \theta z \cos \theta +$$

$$+ C_4(z) \operatorname{sh} \theta z \sin \theta + \frac{1}{2z(z^2+1)} \int_0^\theta T(t, z) K(t, \theta, z) dt \quad (8)$$

где

$$K(t, \theta, z) = \operatorname{sh} z(t-\theta) \cos(t-\theta) - z \operatorname{ch} z(t-\theta) \sin(t-\theta)$$

Постоянные  $C_i(z)$  должны быть определены из граничных условий (2), после чего выражение (4) для  $u$  будет точно удовлетворять пяти граничным условиям из шести. Остается удовлетворить первому условию (3), которое приводит к следующему интегральному уравнению относительно неизвестной функции  $\varphi(\theta)$ :

$$\int_0^\theta \varphi(t) F(R, t, \theta) dt + \int_0^\gamma \varphi(t) H^+(R, t, \theta) dt + \int_0^{-\gamma} \varphi(t) H^-(R, t, \theta) dt = -\Phi(R, \theta) \quad (9)$$

Здесь введены обозначения:

$$F(r, t, \theta) = \int_0^\infty K(t, \theta, z) \psi(r, z) \frac{z dz}{(z^2+1)^2} \quad (10)$$

$$H^\pm(r, t, \theta) = \int_0^\infty [A^\pm(\theta, z) K(t, \pm \gamma, z) + B^\pm(\theta, z) K'(t, \pm \gamma, z)] \psi(r, z) \frac{z dz}{(z^2+1)^2}$$

$$A^\pm(\theta, z) =$$

$$= \frac{1}{\Delta} [(z \cos \gamma \operatorname{sh} \gamma z - \sin \gamma \operatorname{ch} \gamma z) \sin \theta \operatorname{sh} \theta z - (\cos \gamma \operatorname{sh} \gamma z + z \sin \gamma \operatorname{ch} \gamma z) \cos \theta \operatorname{ch} \theta z] \pm$$

$$\pm \frac{1}{\delta} [(z \cos \gamma \operatorname{ch} \gamma z - \sin \gamma \operatorname{sh} \gamma z) \sin \theta \operatorname{ch} \theta z - (\cos \gamma \operatorname{ch} \gamma z + z \sin \gamma \operatorname{sh} \gamma z) \cos \theta \operatorname{sh} \theta z]$$

$$B^\pm(\theta, z) = \pm \frac{1}{\Delta} [\sin \gamma \operatorname{sh} \gamma z \cos \theta \operatorname{ch} \theta z - \cos \gamma \operatorname{ch} \gamma z \sin \theta \operatorname{sh} \theta z] +$$

$$+ \frac{1}{\delta} [\sin \gamma \operatorname{ch} \gamma z \cos \theta \operatorname{sh} \theta z - \cos \gamma \operatorname{sh} \gamma z \sin \theta \operatorname{ch} \theta z]$$

$$\Delta = \operatorname{sh} 2\gamma z + z \sin 2\gamma, \quad \delta = \operatorname{sh} 2\gamma z - z \sin 2\gamma$$

$$K'(t, \theta, z) = \frac{\partial K(t, \theta, z)}{\partial \theta} = (z^2 + 1) \operatorname{sh} z(t-\theta) \sin(t-\theta)$$

<sup>1</sup> Справедливость указанного разложения может быть без труда доказана обычными приемами.

$$\begin{aligned}\Phi(r, \theta) = & \int_0^\infty \left[ A^+(\theta, z) \int_0^\gamma p(t, z) K(t, \gamma, z) dt + B^+(\theta, z) \int_0^\gamma p(t, z) K'(t, \gamma, z) dt + \right. \\ & + A^-(\theta, z) \int_0^{-\gamma} p(t, z) K(t, -\gamma, z) dt + B^-(\theta, z) \int_0^{-\gamma} p(t, z) K'(t, -\gamma, z) dt + \\ & \left. + \int_0^0 p(t, z) K(t, 0, z) dt \right] \frac{z\psi(r, z)}{(z^2 + 1)^2} dz\end{aligned}$$

Если в результате решения уравнения (9) функция  $\varphi(0)$  найдена, то искомая величина  $u$  выражается через нее квадратурами:

$$\begin{aligned}\frac{\pi}{r} u(r, \theta) = & \int_0^\theta \varphi(t) F(r, t, \theta) dt + \int_0^\gamma \varphi(t) H^+(r, t, \theta) dt + \\ & + \int_0^{-\gamma} \varphi(t) H^-(r, t, \theta) dt + \Phi(r, \theta)\end{aligned}\quad (11)$$

Переходим к приближенному решению задачи.

В первом приближении закрепим точку  $\theta = 0$ ,  $r = R$  и заменим нагрузку  $\varphi(0)$  сосредоточенной силой  $\varphi(0)$ . Тогда, полагая в (9)  $\theta = 0$ , имеем

$$\frac{\varphi(0)}{2} = \frac{\Phi(R, 0)}{H^-(R, 0, 0) - H^+(R, 0, 0)} \quad (12)$$

Приводим приближенные формулы для прогиба в центре плиты и изгибающего момента на прямолинейном краю:<sup>1</sup>

$$u\left(\frac{R}{2}, 0\right) = \frac{R}{\pi} \left[ \Phi\left(\frac{R}{2}, 0\right) - \lambda \Phi(R, 0) \right], \quad \lambda = \frac{G(R/2)}{G(R)} \quad (13)$$

$$\begin{aligned}G(r) = & \int_0^\infty \frac{\operatorname{sh}^2 \gamma z - z^2 \sin \gamma}{\operatorname{sh} 2\gamma z + z \sin 2\gamma} \frac{z\psi(r, z)}{(z^2 + 1)^2} dz \\ - M(r, \pm \gamma) = & \frac{1}{\pi r} \left\{ \left[ \frac{\partial^2 \Phi}{\partial \theta^2} \right]_{\theta=\pm\gamma} - \Phi(R, 0) \frac{N(r)}{G(R)} \right\} \quad (14)\end{aligned}$$

$$N(r) = 2 \sin \gamma \int_0^\infty \frac{z^2 \psi(r, z) \operatorname{sh} \gamma z}{\operatorname{sh} 2\gamma z + z \sin 2\gamma} dz$$

Заметим, что величины  $G(r)$  и  $N(r)$  в формулах (13) и (14) не зависят от внешней нагрузки<sup>2</sup> и могут быть подсчитаны раз и навсегда для различных значений  $r$  и  $\gamma$ .

В качестве примера приведем формулу для изгибающего момента на прямолинейном краю в том случае, когда нагрузка представляет собой силу  $P$ , сосредоточенную в точке  $r = r_0$ ,  $\theta = 0$

$$- \frac{\pi r}{2r_0 P \sin \gamma} M(r) = \int_0^\infty [\psi(r_0, z) - \lambda] \frac{\operatorname{sh} \gamma z \psi(r, z)}{\operatorname{sh} 2\gamma z + z \sin 2\gamma} \frac{z^2 dz}{z^2 + 1} \quad (15)$$

<sup>1</sup> Изгибающий момент (равным образом и перерезывающая сила) на дуговом краю при таком способе решения вообще не может быть вычислен.

<sup>2</sup> Зависимость от внешней нагрузки дается функцией  $\Phi(r, \theta)$ .

Из самого способа построения такого приближенного решения следует, что его точность тем выше, чем меньше центральный угол сектора. Однако расчеты показывают, что даже в наихудшем случае полукруглой плиты полученное первое приближение не дает большой погрешности.

Вычислим, например, максимальный изгибающий момент  $M_{\max}$  на диаметре полукруглой плиты, достигающийся, очевидно, в точке ( $r = 0, \theta = 0$ ).

При помощи теоремы о вычетах можно показать, что

$$\lim_{r \rightarrow 0} \frac{1}{r} \int_0^\infty \psi(r, z) \psi(r_0, z) \frac{\sin \gamma z}{\sin 2\gamma z + z \sin 2\gamma} \frac{z^2 dz}{z^2 + 1} = 0 \quad \text{при } \gamma = \frac{\pi}{2} \text{ и } r_0 = \frac{R}{2}$$

$$\lim_{r \rightarrow 0} \frac{1}{r} \int_0^\infty \frac{\psi(r, z) \sin \gamma z}{\sin 2\gamma z + z \sin 2\gamma} \frac{z^2 dz}{z^2 + 1} = -\frac{1}{2R} \quad \text{при } \gamma = \frac{\pi}{2}$$

Таким образом, если сила приложена в центре плиты:

$$-\frac{M_{\max}}{P} = \frac{\lambda}{2\pi} \quad \text{при } r_0 = \frac{R}{2}$$

Учитывая еще равенства при  $\gamma = \frac{1}{2}\pi$

$$4G(R) = 1 - \lg 2 - \sum_{k=1}^{\infty} \frac{1}{(2k+1)^2(2k-1)}$$

$$4G\left(\frac{1}{2}R\right) = 1 - 2\lg \frac{3}{2} - \sum_{k=1}^{\infty} \frac{(1/4)^k}{(2k+1)^2(2k-1)}$$

имеем окончательно —  $M_{\max} \approx 0.139$ , что на 12 % отличается от точного значения 0.158, полученного в работе [6]. Дальнейшие приближения могут быть получены путем закрепления других точек на дуге  $r = R$  и вычисления сил, приложенных в этих точках.

Заметим в заключение, что если  $R = \infty$  («клиновидная» плита), то в предложенной нами форме (4) может быть найдено точное решение задачи изгиба, так как первое условие (3) при этом уже выполнено, причем граничные условия на кромках  $\theta = \pm\gamma$  могут быть произвольными (для случая зекрепленных краев такое решение получено И. Е. Сахаровым [7] способом, несколько отличающимся от приведенного здесь).

Поступила 19 IX 1949

#### ЛИТЕРАТУРА

- Галеркин Б. Г. Упругие тонкие плиты. Госстройиздат. 1933. Стр. 275.
- Бубнов И. Г. Строительная механика корабля, ч. II. 1914. Стр. 465.
- Carrier. The bending of the clamped sectorial Plate. Journ. of appl. Mech. Trans. ASME. 1944. Р. A-134.
- Гринберг Г. А. и Уфлянд Я. С. Об изгибе прямоугольной пластинки с закрепленным контуром под действием произвольной нагрузки. ПММ. 1949. Т. XIII. Вып. 4.
- Уфлянд Я. С. Интегральное уравнение изгиба секторной плиты с закрепленными радиусами. ДАН СССР. 1950. Т. 72. Вып. 2.
- Уфлянд Я. С. Биполярные координаты в теории упругости. ОГИЗ. Гостехиздат. 1950. Стр. 95.
- Сахаров И. Е. Изгиб клиновидной защеленной пластинки под действием произвольной нагрузки. ПММ. 1948. Т. XII. Вып. 4.